

# 架空电信线路的升入电缆

苏联 B.O. 施瓦尔茨曼著

李既平譯



人民邮电出版社

В. О. Шварцман  
Кабельные Вставки  
в Воздушные Линии Связи  
Связиздат  
Москва 1960

### 内 容 提 要

本书系统地讲解了长途电信架空线路中介入电缆（包括避雷器）的设计、计算、附属设备以及安装等方面的技术资料。本书可供从事长途电信的工程技术人员参考。



### 架空电信线路的介入电缆

---

著者：苏联 B. O. 施瓦尔茨曼  
译者：李既平  
校者：李大章 金兆荫  
出版者：人民邮电出版社  
北京东四 6 条 13 号  
(北京市书刊出版业营业许可证字第〇四八号)  
印刷者：北京市印刷一厂  
发行者：新华书店

---

开本 787×1092 1/32 1963 年 7 月北京第一版  
印张 2 24/32 頁数 44 1963 年 7 月北京第一次印刷  
印刷字数 63,000 字 印数 1—2,500 册

统一书号：15045·总1199—有98

定价：(10) 0.40 元

## 譯 者 序

随着我国社会主义建設事业蓬勃发展，我国长途电信事业也有了很大的发展。近几年来，在长途电信明綫綫路上已广泛装用了載波設備，其中不少是 12 路載波電話机。

广泛采用多路載波設備，特別是大量安装 12 路載波設備，对架空明綫回路的电气特性以及进入增音站和終端站的进局設備提出了严格的要求。因此，在我国，在进局綫路上安装的介入电纜已日愈增多。

此外，由于市政建設，架空通信綫路穿越河流，以及防止强電線对架空明綫綫路的电磁影响等，也常常需要安装介入电纜。

为了保証明綫通信回路在接入介入电纜后，仍能具有良好的传输质量，在設計、施工、維护工作中，都应当严格遵循有关的技术規格和标准。

本书比較全面、系統地讲述了架空电信綫路介入电纜的技術問題。特譯出此书以供讀者参考。

限于譯者的水準，譯文如有不当之处，尚望讀者指正。

譯者

1963 年 5 月

## 目 录

### 譯者序

緒論 ..... 1

**第一章 接有介入电纜时，架空明綫线路的电气特性** ..... 6

- 1·1 传输参数 ..... 3
- 1·2 回路间的相互干扰 ..... 12
- 1·3 架空通信线路中所采用的介入电纜型式 ..... 14
- 1·4 电报回路中的介入电纜 ..... 24

**第二章 介入电纜的型式和匹配** ..... 25

- 2·1 架空明綫回路和介入电纜回路的阻抗匹配方法 ..... 25
- 2·2 利用自耦变压器进行匹配的方法 ..... 31
- 2·3 利用加感的方法匹配介入电纜 ..... 34

**第三章 介入电纜的附属设备** ..... 47

- 3·1 十二路载波有色金属回路增音站的进局电纜 ..... 47
- 3·2 钢线载波回路的进局电纜 ..... 55
- 3·3 采用介入电纜时，防止通信设备遭受雷电和强电綫危险影响和干扰影响的措施 ..... 57
- 3·4 介入电纜回路的平衡 ..... 62
- 3·5 介入电纜附属设备的安装方法 ..... 67

**附录 1. T3 型电纜回路的参数** ..... 79

**附录 2. MK 型电纜回路的参数** ..... 82

**附录 3. MKC 型电纜回路的参数** ..... 83

**参考图书** ..... 85

## 緒論

在架空明線線路中，需要接入介入電纜的原因，一般有下列几种：

1. 由于市政建設的要求，不准架設新的架空明線線路，或者需要拆除現有的架空明線；
  2. 当跨越河流、渠道、峽谷、小型湖泊以及其它自然障碍物时，架設架空明線線路不經濟或不可能；
  3. 由于經濟上或技术上的原因，不能沿桥梁架設架空明線；
  4. 为了避免輸電線在接近地段对通信線产生过大的影响；
  5. 在山壘和冰凌地区，需要敷設電纜代替架空明線时；
  6. 因穿越隧道，而不可能架設架空明線时；
  7. 因穿越公路和鐵路而需要敷設電纜时；
  8. 当高頻回路进站时，需要降低回路間的相互干扰时；
- 根据具体情况，介入電纜的长度可以从几十米到几公里。

如果在城市內敷設介入電纜，則電纜与架空明線線路的接合地点应位于市外或城市的边缘。为了保证電纜接續設備在洪水和流冰期間的安全，水底介入電纜的两端应位于最大洪水时河水淹没不到的地帶。

当介入電纜敷設在洪水期間能被水淹没的低洼岸边时，則水底電纜出水后應該固定在岸边，然后与在整个被水淹没的地段上敷設的地下電纜相接。

随着具体条件及技术維护上的需要不同，在介入電纜与架空明線的接合地点，可以設置裝有分線箱的電纜終端杆、電纜終端房或電纜巡护房。

在架空明綫線路与地下介入电纜的接合处，一般是設置电纜終端杆。在电纜过河处附近，如能租到維护人員需用的住房，则設置电纜終端房。如果电纜过河处是人烟稀少的地区，通常是建一电纜巡护房，其中設有配綫架。維护人員可以住在此电纜巡护房内。

由于电纜回路与架空通信明綫回路的电气特性不同，因此，当架空通信綫路具有一段或数段介入电纜时，就变成不均匀回路。不均匀回路与均匀回路的电气特性不同，因此，当电能沿綫路传输时产生一些不良現象。

为了使架空通信明綫回路的电气特性，能满足传输上的质量要求，必須对介入电纜的结构和电气特性提出一定的要求，并按规定的方法进行装設。

# 第一章 接有介入电缆时，架空明线 线路的电气特性

## 1·1 传输参数

表 1·1 中列举了几种电信线路的回路传输参数。由表 1·1 可以明显地看出，明线回路和电缆回路的传输参数是相差很大的。

架空和电缆通信线路的回路传输参数

表 1·1

线路型式	频率 (千赫)	波阻抗		衰减常数 毫奈/公里	相移常数 弧度/公里
		模数 (欧)	相角 (-φ)		
架空 线路	4.0毫米铜线 (线担回路)	0.8 150	564 545	7° 35' 0°	2.8 26.2
	4.0毫米铜线 (弯钩回路)	0.8 25	1570 865	20° 18' 10°	15.0 125.0
电缆 线路	T3-0.9	0.8	590	43°	66
	MK-1.2	0.8	490	41°	43.5
	MKC-1.2	0.8	520	41°	40.5
	MKC-1.2	150	180	3°	240

当架空回路中接有介入电缆时，它就成为不均匀回路。因此，当在这个回路的始端接入振荡器时，即有电磁能以入射波的形式在第一段均匀回路段上传播，之后又在其余各段均匀回路上传播。

由于各均匀回路段的波阻抗不相同，因而在这些段的接合点产生反射波，同时，这个反射波传播到其他接合点时，还会不断产生反射。因此，不论在线路终端接有什么样的负载，甚

至在終端負載與線路匹配的情況下，在這種組合回路中都將產生許多入射波與反射波。

最後，當回路上建立起穩定過程時，組合回路始端的輸入阻抗將等於電壓入射波與反射波之和與電流入射波與反射波之和之比，而與終端的負荷無關。象對均勻線路一樣，我們仍將開路阻抗與短路阻抗的幾何平均值叫做不均勻回路的特性阻抗：

$$Z_c = \sqrt{Z_{ce} Z_{ck}}. \quad (1 \cdot 1)$$

在一般情況下，不均勻回路的兩端具有不同的特性阻抗。

由於在線路上存在着反射波，因而組合回路的特性阻抗的頻率特性曲線是波動形的。

最簡單的組合回路是終端接有介入電纜的架空線路（見圖

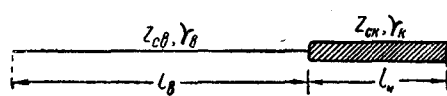


圖 1·1 在終端接有介入電纜的架空線路

1·1)。這時，組合回路特性阻抗和原來的均勻回路（左側為架空線路，右

側為電纜線路）波阻抗的差別，與回路接合點的反射系數成正比，並與回路的傳播常數及均勻回路段的長度有關：

$$\left. \begin{aligned} \frac{Z_c - Z_{ce}}{2 Z_{ce}} &= p_e e^{-2\gamma_e l_e} \\ \frac{Z_c - Z_{ck}}{2 Z_{ck}} &= p_k e^{-2\gamma_k l_k} \end{aligned} \right\}, \quad (1 \cdot 2)$$

式中： $Z_{ce}$ 、 $Z_{ck}$ ——架空線路與介入電纜的波阻抗；

$$p_e = -p_k = \frac{Z_{ck} - Z_{ce}}{Z_{ck} + Z_{ce}} \text{——回路接合點的反射系數；}$$

$\gamma_e$ 、 $\gamma_k$ ——架空線路與介入電纜回路的傳播常數；

$l_e$ 、 $l_k$ ——架空與電纜回路的長度。

對 (1·2) 式進行不太複雜的演算，即可看出，組合回路特

性阻抗和原均匀回路段波阻抗之間差別的頻率特性曲線是波动狀的，如圖 1·2 所示。

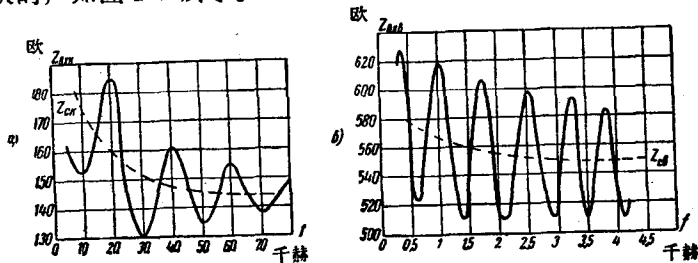


圖 1·2 架空線路終端接有介入電纜時的頻率特性曲線

a) 从電纜側看時；b) 从架空線路側看時

特性阻抗的波动性，使得無法選擇雙向電話增音機的平衡網絡，因此，在具有介入電纜的長距離架空線路上進行音頻通話時，就不能保證穩定的工作。

根據國際電報電話諮詢委員會的建議，架空通信線路低頻回路的均勻性用不均勻衰減值來表示。不均勻衰減值等於實際的特性阻抗  $Z_c$  與標稱的特性阻抗  $Z_{c0}$  之和與差的比值的絕對值的對數，即：

$$b_n = \ln \left| \frac{Z_c + Z_{c0}}{Z_c - Z_{c0}} \right|. \quad (1·3)$$

當線路上只有一個中間增音機時，增音段的不均勻衰減應比增音段的回路衰減（不包括增音機）至少大 0.2 奈；當有兩個中間增音機時，應至少大 0.4 奈；如果多於兩個增音機，則超過的數值還應更大一些。

接有介入電纜時，架空線路的工作衰減由下式表示：

$$\begin{aligned} b_{pa\delta} = & b + \ln \left| \frac{Z_1 + Z'_c}{2\sqrt{Z_1 Z'_c}} \right| + \ln \left| \frac{Z_2 + Z''_c}{2\sqrt{Z_2 Z''_c}} \right| \\ & + \ln \left| 1 - \frac{Z'_c - Z_1}{Z'_c + Z_1} \cdot \frac{Z''_c - Z_2}{Z''_c + Z_2} \cdot e^{-2g} \right|, \end{aligned} \quad (1·4)$$

式中：  
 $b$ ——組合回路的固有衰減（应当注意，它并不等于各个回路段的衰減之和）；  
 $g$ ——組合回路的傳輸常數；  
 $Z'_c, Z''_c$ ——組合回路的特性阻抗；  
 $Z_1$  及  $Z_2$ ——回路的終端負載。

如前所述，當頻率改變時， $Z'_c$  和  $Z''_c$  值發生變動，因此工作衰減的頻率特性也不是平滑的。這是由於在各均勻段的接合點因波阻抗不匹配而產生的。工作衰減的波動狀頻率特性使得振幅失真增大。

對於具有一段介入電纜的回路，其工作衰減如按(1·4)式進行計算是相當困難的；如果介入電纜不止一段，計算工作就更加繁雜。比較簡單的方法是按下面 П. К. 阿庫里生所建議的公式進行計算：

$$b_{pa\delta} = \ln \left| \frac{Z_{ex} + Z_1}{2\sqrt{Z_1 Z_2}} n_1 n_2 \cdots n_n \right|, \quad (1·5)$$

式中：  
 $Z_{ex}$ ——組合回路始端的輸入阻抗（計算方法見下）；  
 $Z_1$ ——回路始端的負載；  
 $Z_2$ ——回路終端的負載。

$n_i$  按下式計算：

$$n_i = \frac{Z_{exi}}{Z_{ci}} \operatorname{sh} \gamma_i l_i + \operatorname{ch} \gamma_i l_i,$$

式中：  
 $Z_{exi}, Z_{ci}$ ——第  $i$  段的輸入阻抗和波阻抗；  
 $\gamma_i$ ——第  $i$  段的傳播常數；  
 $l_i$ ——第  $i$  段的長度；  
 $i$ ——從 1 到  $n$  的整數。

各個段落的輸入阻抗  $Z_{exi}$  及整個組合回路的輸入阻抗可按下述方法進行計算：長度為  $l$ 、波阻抗為  $Z_c$ 、傳播常數為

$\gamma$ , 另一端終接負載為  $Z_e$  的均匀回路的始端的輸入阻抗, 由下式决定:

$$Z_{\theta_k} = Z_c \operatorname{th}(\gamma l + \varepsilon), \quad (1 \cdot 6)$$

式中:

$$\operatorname{th} \varepsilon = \frac{Z_e}{Z_c}.$$

根据公式 (1·6) 首先求出組合回路第  $n$  个 (倒数第 1 段) 均匀段的輸入阻抗  $Z_{\theta_{kn}}$ , 其次再按照該式求出第  $(n-1)$  (倒数第二段) 段的輸入阻抗  $Z_{\theta_{k(n-1)}}$ , 这时終端阻抗应采用  $Z_{\theta_{kn}}$ 。

然后依次地决定所有其他各个均匀段始端的輸入阻抗, 直到第一段始端的輸入阻抗, 即可求出整个組合回路的輸入阻抗。

回路另一端的輸入阻抗, 按相反的順序进行計算。

已知組合回路的輸入阻抗时, 按式 (1·5) 不难算出它的工作衰減。但是, 这些計算总归是很麻烦的。在音頻时, 如果介入电纜长度不超过 2—3 公里, 或者, 在高頻时(150千赫), 如果介入电纜长度不超过几十米, 則当計算輸入阻抗时, 可以用容量等于  $C \cdot l$  的等效电容器来代替介入电纜; 这里  $C$  为 1 公里电纜回路的电容,  $l$  为介入电纜的长度 (公里); 这样, 計算就可以大为簡化。

上述計算組合回路工作衰減的方法, 通常只应用于具有几段介入电纜, 而且彼此相距不太远的情况。所謂“相距不太远”是說, 两个相邻介入电纜間的明綫回路衰減, 在所研究的传输頻帶內不够大, 还不足以容許忽略架空綫路与介入电纜接合处所产生的反射波的相互影响。如果这个衰減为 1 奈或更大些的話, 則上述的相互作用实际上可以忽略不計。例如, 当介入电纜位于增音段的两端, 而且段內再无其他介入电纜时, 可能会

符合这种条件。

在这种情况下，工作衰减的计算可以显著地简化，而变为计算介入电纜的介入衰减。由于介入电纜通常接于架空线路同一回路的两侧，所以，介入电纜的介入衰减可按照与工作衰减相同的公式计算，即：

$$b_i = b_k + 2 \ln \left| \frac{Z_{ce} + Z_{ck}}{2\sqrt{Z_{ce}Z_{ck}}} \right| + \ln \left| 1 - e^{-2\gamma_k l_k} \left( \frac{Z_{ce} - Z_{ck}}{Z_{ce} + Z_{ck}} \right)^2 \right|, \quad (1 \cdot 7)$$

式中： $b_k$ ——介入电纜回路的固有衰减；

$\gamma_k$ ——介入电纜回路的传播常数。

公式 (1·7) 的第二项表示因电纜与架空线路特性阻抗不匹配而产生的衰减。依前述阻抗关系式，它可表示为：

$$b_{om} = 2 \ln \left| \frac{1 + \frac{Z_{ce}}{Z_{ck}}}{2 \sqrt{\frac{Z_{ce}}{Z_{ck}}}} \right|.$$

由于  $\frac{Z_{ce}}{Z_{ck}} = \left| \frac{Z_{ce}}{Z_{ck}} \right| e^{j\varphi}$ ,

所以  $b_{om}$  与  $\left| \frac{Z_{ce}}{Z_{ck}} \right|$  和  $\varphi$  的关系可用图 1·3 中的曲线表示。

例如，当架挂在线担上的 4.0 毫米铜线回路中接有 MKG —1.2 型介入电纜时，在高频时  $\left| \frac{Z_{ce}}{Z_{ck}} \right| = \frac{545}{180} = 3.0$ ,  $\varphi = 3^\circ$ ，  
因之， $b_{om} = 0.3$  奈。

公式 (1·7) 的第三项表示由于反射波的相互作用而产生的衰减。不难看出，这种衰减只有在电纜回路的固有衰减比较小的情况下才有实际意义。例如，如果  $Z_{ce}$  和  $Z_{ck}$  为纯电阻，反射系数

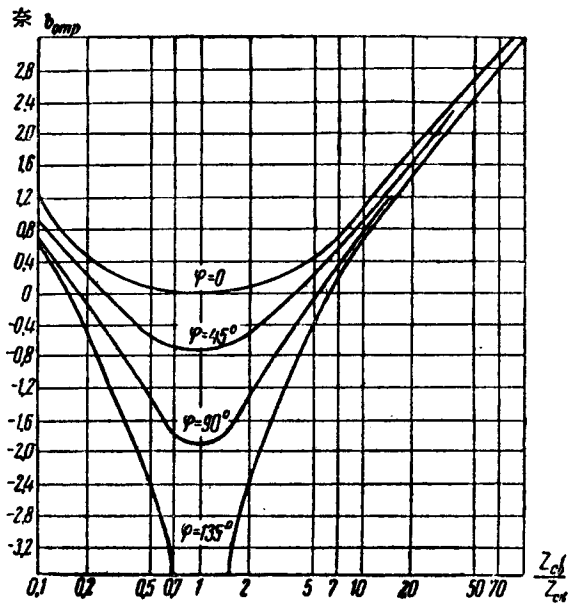


图 1-3 計算介入电纜的介入衰減用的曲綫

$$p = \frac{Z_{ce} - Z_{ck}}{Z_{ce} + Z_{ck}} = 0.5,$$

则当  $b_k \geq 0.4$  奈时，由于反射相互作用而产生的衰减不超过 0.1 奈。

为了确定由于反射相互影响而产生的衰减频率特性，可把该衰减值表达成下式：

$$b_{\theta_3} = \ln |1 - p^2 e^{-2b_k} (\cos 2a_k - j \sin 2a_k)|, \quad (1-8)$$

式中： $a_k$ ——介入电纜回路的相移常数。

从公式 (1-8) 可知，由于反射相互影响所产生的衰减具有波动状的频率特性。如果反射系数  $p$  为纯实数，则当  $a_k =$

$\kappa \frac{\pi}{2}$ ,  $\kappa=1, 3, 5$  时,  $b_{\theta 3}$  将有最大的正值。

考虑到  $a_{\kappa} = a_{\kappa} l_{\kappa} = \frac{2\pi f_{\kappa} l_{\kappa}}{v}$ , 由于反射相互影响所产生的衰减的最大值应该在下列频率时出现:

$$f_{\kappa} = \frac{v}{4l_{\kappa}},$$

式中:  $v$  —— 电磁能沿电缆的传播速度。

图 1·4 和图 1·5 中的曲线, 是按公式 (1·7) 的计算结果绘出的, 可供计算介入电缆的介入衰减时使用。图 1·4 的计算值是考虑当 4.0 毫米径有色金属导线架挂于线担上, 并接有 T3—1.4 毫米型介入电缆时的情况。图 1·5 是考虑有色金属线的线径为 3.0 毫米, 架挂在弯钩上, 介入电缆也是 T3—1.4 毫米型时的情况。这些曲线也可以用来概略地计算其他型式 (MK、MKC) 或其他心线线径 (1.2, 0.9) 的介入电缆的介入衰减。图中纵轴数值为公式 (1·7) 最后二项的和, 横轴数值为电流频

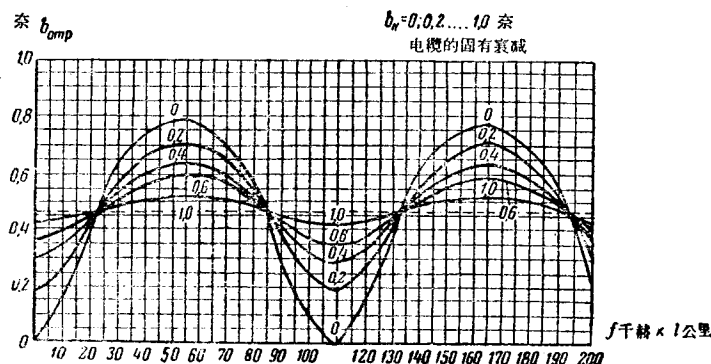


图 1·4 有色金属回路 ( $a=20$  厘米,  $d=4$  毫米) 中接有 T3—1.4 型介入电缆时的反射衰减

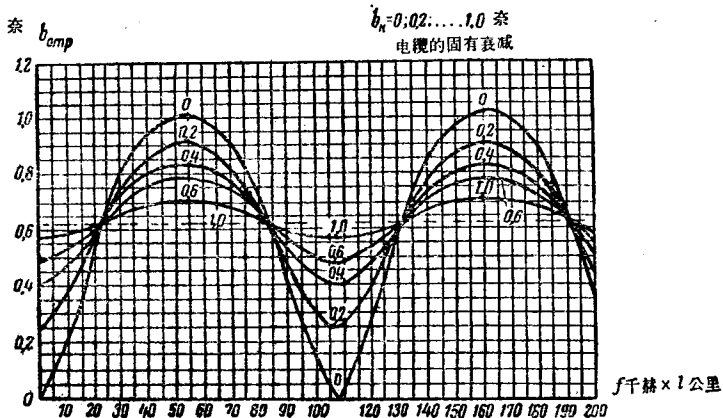


图 1·5 有色金属回路( $a=60$ 毫米,  $d=3$ 毫米)中插入T3-1.4型介入电纜时的反射衰減

率  $f$  (千赫) 与介入电纜长度  $l_n$  (公里) 的乘积。

图中的各曲线分別适用于介入电纜固有衰減值为 0、0.2、0.4、0.6 和 1.0 奈时的情况。

图 1·6 为各种不同长度介入电纜，在 1—150 千赫頻帶內，按照公式 (1·7) 算出来的介入衰減。計算時所考慮的情況是 4.0 毫米有色金属線，架挂于綫路上，其介入电纜为 T3-1.2 型电纜。从图中曲線可以看出，和上面所說的一样，当架空通信回路中接有介入电纜时，它的衰減頻率特性就成为波动状的。此外，該图还可用来概略地計算介入电纜的介入衰減。

上述計算方法，可用来計算輸入阻抗，也可用来計算介入电纜的工作衰減，从而判断这些数值是否符合規定标准。当架空綫路中不是只有一个而是有几个回路时，在接入介入电纜后，除了传输参数将要改变外，还应考虑各回路間的相互干扰。

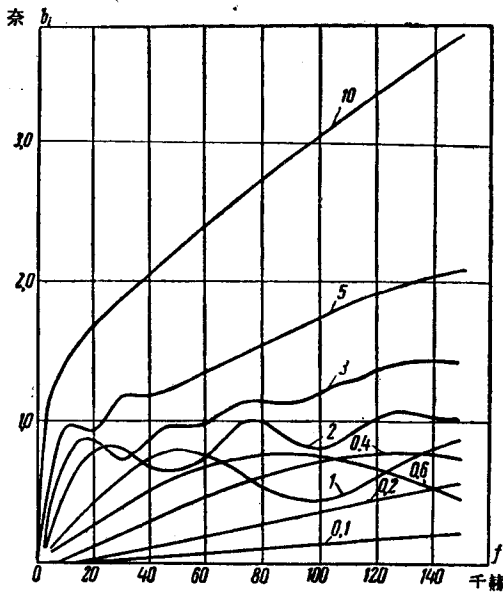


图 1·6 介入电缆的介入衰减的频率特性和电缆长度的关系

## 1·2 回路間的相互干扰

在架空通信线路与介入电缆接合处所产生的反射波引起回路间的附加干扰。当线路上有两个或更多个回路时，对这种附加干扰就不能不加以考虑。

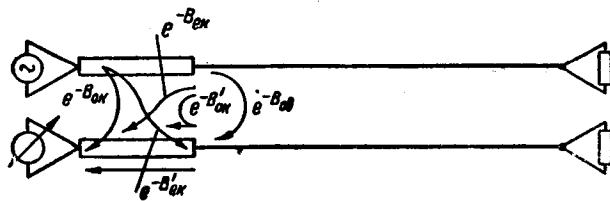


图 1·7 接有介入电缆时，回路间的近端干扰

現在讓我們來研究始端接有介入電纜的兩個回路。假定在兩回路的始端都接以數值等於電纜波阻抗的負載電阻，在終端都終接以等於架空線路波阻抗的負載電阻。

在所研究的情況下，近端干擾等於由  $e^{-B_{0K}}$  ( $B_{0K}$  為電纜回路的近端串音衰減) 所確定的介入電纜的近端干擾與由  $e^{-(B_{0\theta} + 2b_K)}$  ( $B_{0\theta}$  為架空線路回路間的近端串音衰減， $b_K$  為介入電纜的衰減) 所確定的架空線路的近端干擾之和，如圖 1·7 所示。但是，這種情況只在架空線路的波阻抗與介入電纜的波阻抗相同時才成立。

否則，在近端干擾中還應增加下列分量：

1) 由介入電纜與架空線路接合處的反射所引起，按照遠端串音規律所形成的干擾分量；這種干擾與  $p e^{-(B_{eK} + b_K)}$  成正比，這裡  $B_{eK}$  為介入電纜回路間的遠端串音衰減， $p = \frac{Z_K - Z_\theta}{Z_K + Z_\theta}$  為反射系數；

2) 由介入電纜回路間產生的遠端串音并在介入電纜與架空線路接合處受到反射所形成的干擾分量。這種干擾與  $p e^{-(B'_{eK} + b_K)}$  成正比。

3) 先在干擾回路中的電纜與架空線路接合處發生反射，然後在介入電纜回路間按照近端串音途徑串到被干擾回路中，並又在同一接合處發生反射而形成的干擾分量。這種干擾與  $p^2 e^{-(B'_{0K} - 2b_K)}$  成正比。

在電纜與架空線路接合處沒有反射的情況下，遠端干擾（圖 1·8）由下列兩個分量組成，即：

- 1) 電纜線路回路間的遠端干擾，與  $e^{-(B_{eK} + b_\theta)}$  成正比；
- 2) 架空線路回路間的遠端干擾與  $e^{-(B_{e\theta} + b_K)}$  成正比。

當電纜與架空線路接合處有反射時，則除上述遠端干擾分